

Si consideri il modello dinamico semplificato di un reattore nucleare riportato in fig. 1-*Sinistra*.

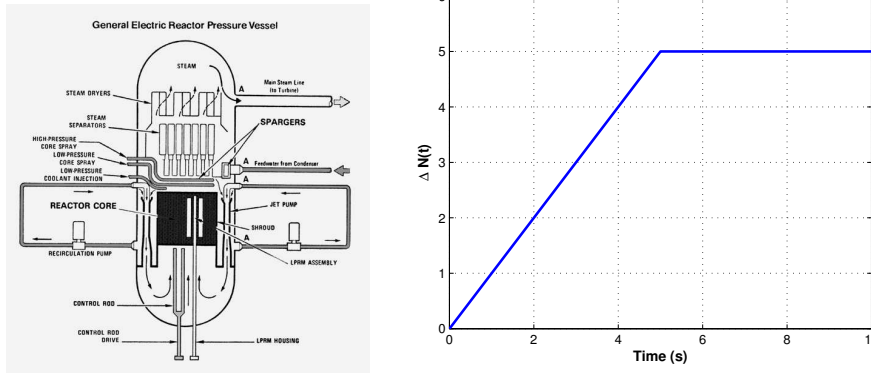


Figure 1: *Sinistra*: Schema di principio di un reattore nucleare. *Destra*: Riferimento  $\Delta N(t)$  di variazione di densità di neutroni (quesito C).

Nel caso in cui si considerino presenti due gruppi di precursori (isotopi radioattivi) di densità  $c_1(t)$  e  $c_2(t)$ , la dinamica del reattore risulta

$$\begin{cases} \dot{n}(t) &= [\frac{\rho(t)-\beta}{l}]n(t) + \lambda_1 c_1(t) + \lambda_2 c_2(t) + q(t), \\ \dot{c}_1(t) &= \frac{\beta_1}{\lambda_1} n(t) - \lambda_1 c_1(t), \\ \dot{c}_2(t) &= \frac{\beta_2}{\lambda_2} n(t) - \lambda_2 c_2(t), \end{cases} \quad (1)$$

in cui  $n(t)$  rappresenta la densità di neutroni,  $l = 0.00002 \text{ s}$  è una costante detta tempo di generazione,  $\rho(t)$  rappresenta un ingresso di controllo detto reattività,  $q(t)$  è la variazione temporale di densità con cui vengono generate particelle eccitanti da una sorgente esterna che alimenta la reazione,  $\lambda_1 = 1.4 \text{ s}^{-1}$  e  $\lambda_2 = 3.87 \text{ s}^{-1}$  sono le costanti di ritardo dei due precursori, e  $\beta = \beta_1 + \beta_2 = 0.001078$  è un parametro adimensionale detto frazione dei precursori, dove si è posto  $\beta_1 = 0.000896$  e  $\beta_2 = 0.000182$ .

Lo scopo è quello di controllare la densità di neutroni  $n(t)$  agendo sul controllo  $\rho(t)$  nota l'evoluzione temporale di  $q(t)$ .

**A** Si consideri inizialmente la reattività  $\rho(t)$  come *parametro costante*  $\bar{\rho}$  del sistema. Si calcoli il valore di tale parametro affinché, a partire dallo stato iniziale  $[n(t), c_1(t), c_2(t)]|_{t=0}^T = [0, 0, 0]^T$ , un ingresso impulsivo unitario  $q(t) = \delta(t)$  produca uno stato di equilibrio a regime  $[n(t), c_1(t), c_2(t)]|_{t \rightarrow \infty}^T \neq [0, 0, 0]^T$ . Si calcoli, se possibile, lo stato di equilibrio risultante (che corrisponde ad uno stato di reazione autosostenuta); (SUGGERIMENTO: si noti che, scelta la reattività  $\rho(t)$  come parametro costante del sistema, la dinamica (1) del reattore *risulta lineare* nello stato e nell'ingresso  $q(t)$ )

**B** Supposte possibili variazioni di reattività  $\rho(t)$ , si linearizzi il sistema nell'intorno dello stato di equilibrio ricavato al punto **A**) e si calcolino le funzioni di trasferimento  $G_\rho(s) = \frac{\tilde{n}(s)}{\tilde{\rho}(s)}$  e  $G_q(s) = \frac{\tilde{n}(s)}{\tilde{q}(s)}$ ;

**C** Dati i risultati ricavati al punto precedente, progettare un controllore in retroazione  $C(s)$  che, sfruttando la misura della variazione di densità di neutroni  $\tilde{n}(t)$  e controllando  $\rho(t)$ , garantisca

C1 l'inseguimento a regime con errore nullo ad un riferimento di variazione di densità di neutroni  $\Delta N(t) = t u(t) + (5 - t) u(t - 5)$ , in cui  $u(t)$  rappresenta la funzione a gradino unitario ( il segnale  $\Delta N(t)$  è riportato in figura 1-*Destra*). (SUGGERIMENTO: dato un segnale tempo-continuo  $a(t)$ , la L-trasformata del segnale traslato di  $\tau$  secondi nel dominio del tempo risulta  $L\{a(t - \tau)\} = A(s)e^{-s\tau}$ , dove si è posto  $A(s) = L\{a(t)\}$ );

C2 sovralongazione percentuale massima  $S \leq 10\%$  e tempo di assestamento  $T_{ass} \leq 4 \text{ s}$ ;

C3 una attenuazione di  $10^3$  di disturbi sinusoidali che agiscono a pulsazioni  $\omega \geq 3.5 \cdot 10^3 \text{ rad/s}$  sulla misura della variazione di densità di neutroni.

**OPZIONALE** Si determinino i modi propri del segnale di controllo  $\rho(t)$  in uscita al controllore in retroazione  $C(s)$  ottenuto al punto **C**).

## Soluzione

- A** Al fine di ottenere uno stato di equilibrio diverso da zero con un ingresso impulsivo, si deve calcolare il valore costante  $\bar{\rho}$  che determini una funzione di trasferimento  $G_q(s) = \frac{n(s)}{q(s)}$  stabile e con un polo nell'origine, quindi

$$G_q(s) = G'(s) \frac{1}{s}$$

con  $G'(s)$  asintoticamente stabile. A tal fine si osservi che la dinamica del sistema (1) in questo caso risulta lineare nella forma

$$\begin{cases} \dot{n}(t) &= [\frac{\bar{\rho}-\beta}{l}]n(t) + \lambda_1 c_1(t) + \lambda_2 c_2(t) + q(t), \\ \dot{c}_1(t) &= \frac{\beta_1}{l}n(t) - \lambda_1 c_1(t), \\ \dot{c}_2(t) &= \frac{\beta_2}{l}n(t) - \lambda_2 c_2(t). \end{cases} \quad (2)$$

L-trasformando le tre equazioni dinamiche tenendo conto che lo stato iniziale è nullo (quindi,  $L\{\dot{a}(t)\} = s a(s)$  per un qualsiasi segnale  $a(t)$  nel dominio del tempo con  $a(0) = 0$ ), dopo alcuni passaggi algebrici, si ottiene la funzione di trasferimento

$$G_q(s) = \frac{(s + \lambda_1)(s + \lambda_2)}{s[s^2 + (\lambda_1 + \lambda_2 + \frac{\beta}{l})s + \lambda_1\lambda_2 + \frac{\beta_1\lambda_2 + \beta_2\lambda_1}{l}]}$$

avendo scelto  $\bar{\rho} = 0$  poichè risulta l'unico valore costante che garantisce uno stato a regime costante non nullo. Dato che si tratta di ingresso impulsivo (quindi  $L\{\delta(t)\} = 1$ ), il punto di equilibrio risultante si ottiene applicando il teorema del valor finale alla  $G_q(s)$  ottenendo

$$n(\infty) = \lim_{s \rightarrow 0^+} s G_q(s) = \frac{l\lambda_1\lambda_2}{l\lambda_1\lambda_2 + \beta_1\lambda_2 + \beta_2\lambda_1} = 0.0283,$$

e quindi  $c_1(\infty) = \frac{\beta_1}{l\lambda_1}n(\infty) = 0.9056$  e  $c_2(\infty) = \frac{\beta_2}{l\lambda_2}n(\infty) = 0.0665$ . Il punto di equilibrio desiderato risulta quindi

$$X = [\bar{n}, \bar{c}_1, \bar{c}_2] = [0.0283, 0.9056, 0.0665]^T.$$

- B** Il sistema linearizzato attorno all'equilibrio trovato al punto **A**) risulta

$$\begin{cases} \dot{\tilde{n}}(t) &= \left(\frac{\bar{\rho}-\beta}{l}\right)\tilde{n} + \lambda_1\tilde{c}_1(t) + \lambda_2\tilde{c}_2(t) + \tilde{q}(t) + \frac{\bar{n}}{l}\tilde{\rho}, \\ \dot{\tilde{c}}_1(t) &= \frac{\beta_1}{l}\tilde{n}(t) - \lambda_1\tilde{c}_1(t), \\ \dot{\tilde{c}}_2(t) &= \frac{\beta_2}{l}\tilde{n}(t) - \lambda_2\tilde{c}_2(t), \end{cases} \quad (3)$$

dove, in particolare,  $\tilde{q} = q(t)$  poichè a regime l'impulso si è esaurito. Le funzioni di trasferimento  $G_q(s)$  e  $G_\rho(s)$  risultano

$$G_q(s) = \frac{(s + \lambda_1)(s + \lambda_2)}{s[s^2 + (\lambda_1 + \lambda_2 + \frac{\beta}{l})s + \lambda_1\lambda_2 + \frac{\beta_1\lambda_2 + \beta_2\lambda_1}{l}]} = \frac{(s + 3.87)(s + 1.4)}{s(s + 55.7334)(s + 3.4366)}$$

$$G_\rho(s) = \frac{\bar{n}}{l}G_q(s) = \frac{\bar{n}}{l} \frac{(s + \lambda_1)(s + \lambda_2)}{s[s^2 + (\lambda_1 + \lambda_2 + \frac{\beta}{l})s + \lambda_1\lambda_2 + \frac{\beta_1\lambda_2 + \beta_2\lambda_1}{l}]} = 1415 \frac{(s + 3.87)(s + 1.4)}{s(s + 55.7334)(s + 3.4366)}.$$

- C** Il legame ingresso/uscita risulta espresso dalla seguente equazione

$$\tilde{n}(s) = G_\rho(s)\tilde{\rho}(s) + G_q(s)\tilde{q}(s).$$

- C1** Si consideri in particolare la funzione di trasferimento  $G_\rho(s)$ . Essendo l'impianto ad anello aperto asintoticamente stabile, per progettare il controllore è possibile operare direttamente sui diagrammi di Bode (Fig. 2).

Si fa riferimento al progetto di un controllore del tipo

$$C(s) = \frac{K}{s^r} \hat{C}(s), \quad \text{con} \quad \hat{C}(0) = 1,$$

Si osservi che la funzione di trasferimento considerata è di tipo 1, mentre il profilo assegnato  $\Delta N$  presenta un andamento di tipo lineare. L'inseguimento con errore nullo del contributo costante è

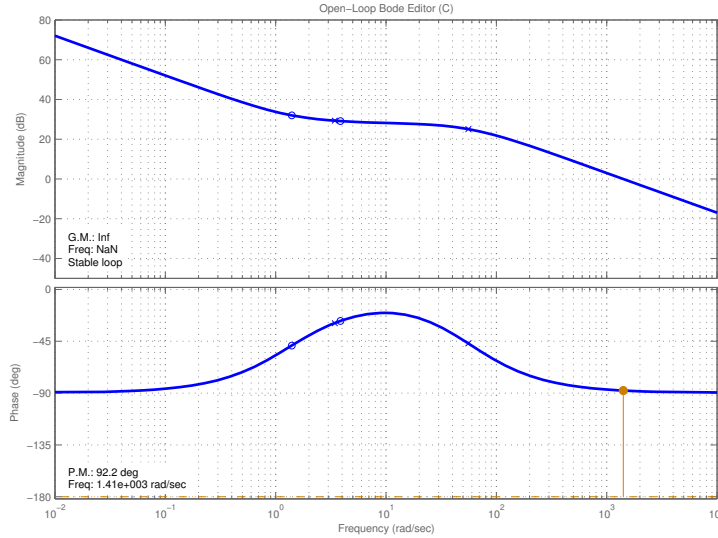


Figure 2: Diagrammi di Bode del sistema in anello aperto.

già garantito ma occorre un ulteriore polo nell'origine per annullare l'errore di inseguimento alla rampa. Poniamo in tal caso  $t = 1$  ottenendo una struttura del controllore del tipo  $C(s) = \frac{1}{s}\hat{C}(s)$ . Con tale compensazione si ottiene il diagramma di Bode riportato in Fig. 3. Si osservi che il sistema così controllato è stabile e quindi sono soddisfatte le ipotesi di applicabilità del teorema del valore finale.

**C2** Questa specifica richiede che il sistema in anello chiuso sia approssimabile con un sistema del secondo ordine con smorzamento dei poli dominanti pari a 0.8371 (come si ricava dalla espressione della sovraelongazione dei sistemi del secondo ordine  $s = e^{-\frac{\pi\delta}{\sqrt{1-\delta^2}}}$ ). Sul piano di Bode, questo significa che si ammette un margine di fase  $\phi_M \approx 84^\circ$ . Tale specifica non risulta attualmente rispettata avendo il sistema un margine di fase di circa  $62.7^\circ$  (Fig. 3). Si può utilizzare un'opportuna azione anticipatrice ad esempio ponendo un zero in  $-0.862$ . Per soddisfare la specifica sul tempo di assestamento, l'approssimazione a due poli dominanti impone che la pulsazione naturale dei due poli debba essere  $\omega_N \geq 3/\delta T_a \approx 3.5838 \text{ rad/sec}$ . In particolare occorre che il diagramma delle ampiezze di  $C(j\omega)G(j\omega)$  intersechi l'asse a  $0 \text{ db}$  a pulsazioni superiori a  $0.8960 \text{ rad/sec}$ . Tale condizione risulta attualmente ampiamente rispettata essendo la pulsazione di tagli approssimativamente pari a  $1640 \text{ rad/sec}$  (Fig. 4).

**C3** Per soddisfare la specifica di reiezione dei disturbi in alta frequenza si deve verificare che  $|C(s)G(s)| < 10^{-3}|1 + C(s)G(s)|$  nelle pulsazioni di interesse. Ciò equivale approssimativamente a chiedere che  $|C(j\omega)G(j\omega)|_{\text{db}} \leq -60 \text{ db}, \forall \omega > 3.5 \cdot 10^3 \text{ rad/s}$ . Tale specifica è illustrata in Fig. 4. Inserendo nel controllore un polo ad alta frequenza, ad es. in  $-4.35 \text{ rad/s}$ , si ottiene il diagramma di Bode riportato in Fig. 5 in cui si nota che la specifica risulta rispettata.

Si osservi però che il margine di fase risulta compromesso ( $37.6^\circ$ ). È sufficiente ridurre il guadagno (ad esempio porlo pari a 0.104), in virtù dell'alta pulsazione di taglio, per verificare tutte le specifiche (Fig. 6). Il controllore risulta quindi

$$C(s) = 0.104 \frac{(1 + 1.6s)}{s(1 + 0.23s)}$$

A verifica della bontà del progetto si riporta la risposta al gradino del sistema in Fig. 7.

**OPZIONALE** Calcolando la funzione di trasferimento  $K(s) = \frac{C(s)}{1 + C(s)G_p(s)}$  che lega il segnale di riferimento al segnale di controllo si nota che essa presenta due poli complessi coniugati e tre poli reali

$$p = a \pm jb = -28.9393 \pm 17.3352j, p_1 = -3.8504, p_2 = -0.9904, p_3 = -0.7985.$$

Di conseguenza i modi propri si presentano nella forma  $c_i e^{(p_i t)}|_{i=1..3}$  e  $c e^{(at)} \sin(bt + \phi)$

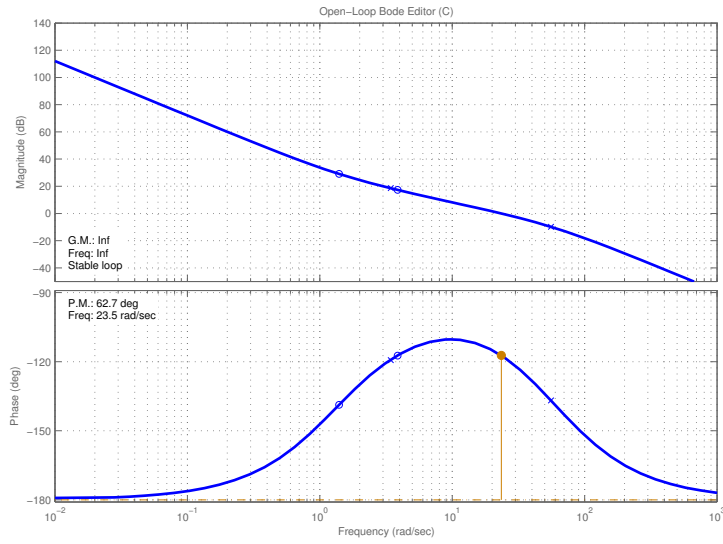


Figure 3: Diagrammi di Bode ottenuti con il controllore  $C(s) = \frac{1}{s}$ .

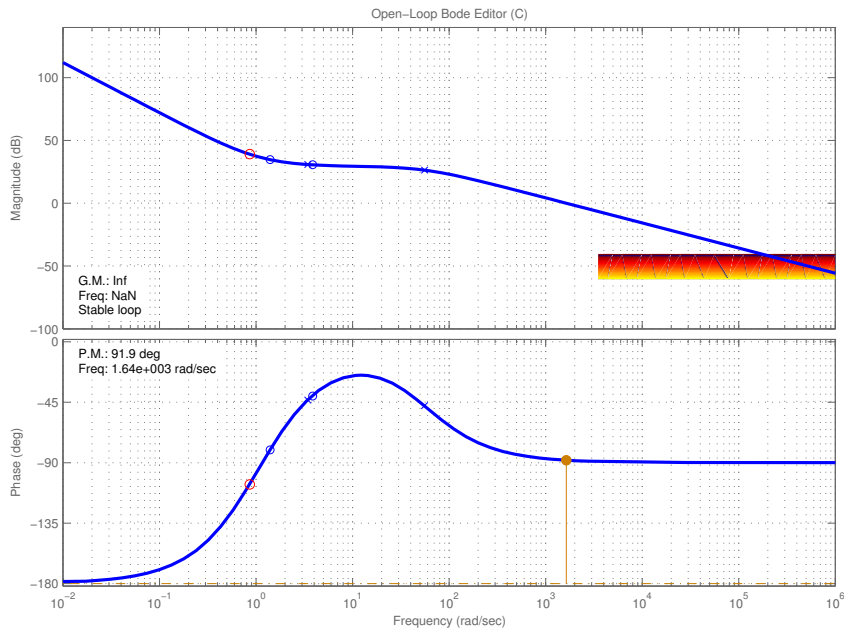


Figure 4: Diagramma di Bode del sistema con il vincolo sulla reiezione ai disturbi di misura e il controllore  $C(s) = \frac{1+1.6s}{s}$

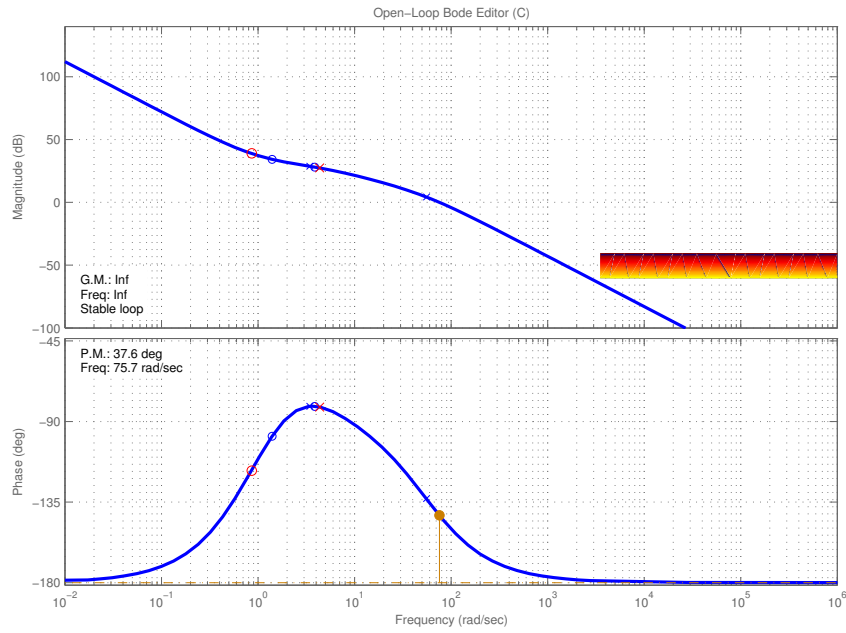


Figure 5: Diagrammi di Bode relativi al sistema con la compensazione del disturbo di misura.

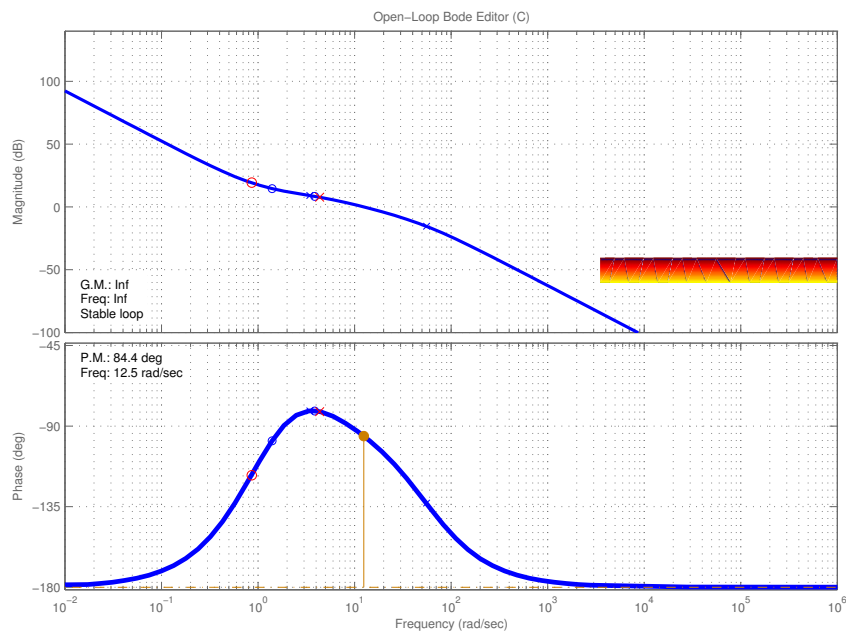


Figure 6: Diagrammi di Bode relativi al sistema con la compensazione del disturbo di misura e ripristino margine di fase.

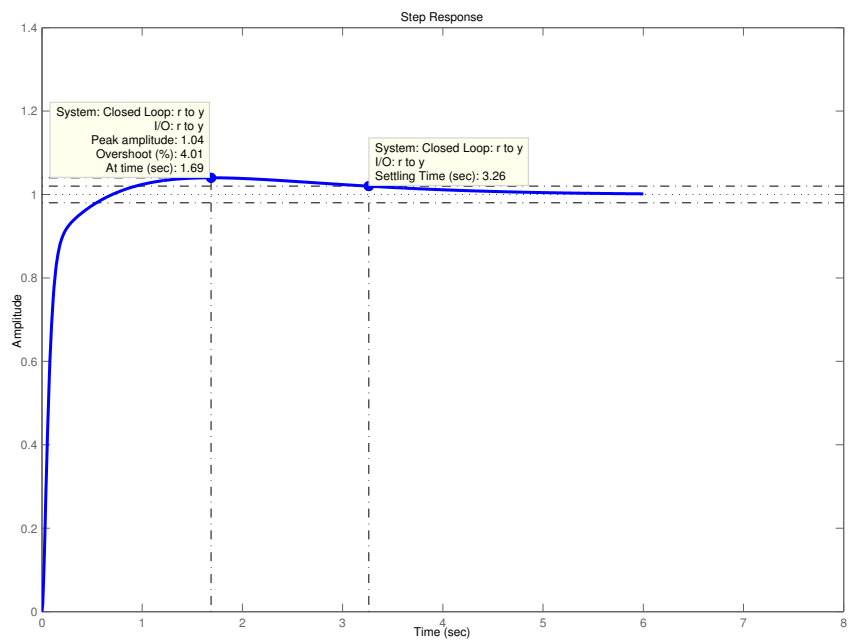


Figure 7: Risposta al gradino del sistema.